

**СРАВНИТЕЛЬНЫЙ АНАЛИЗ ДВУХ ПОДХОДОВ  
К МАТЕМАТИЧЕСКОМУ МОДЕЛИРОВАНИЮ ПРОЦЕССОВ  
ТЕПЛОПЕРЕНОСА В РАЗЛАГАЮЩИХСЯ МАТЕРИАЛАХ**

**АННОТАЦИЯ**

В настоящей работе произведено сравнение двух подходов к численному решению системы дифференциальных уравнений теплопереноса в разлагающихся материалах. Сравнение производилось на основании математического моделирования с использованием программных комплексов, разработанных в МАИ.

В настоящее время существует множество подходов к численному решению задач моделирования теплопереноса в разлагающихся материалах, но так как численное решение всегда лишь приближенное решение, то необходимо представлять, какими особенностями обладает тот или иной подход в зависимости от рассматриваемого случая теплового воздействия.

В данной работе производился сравнительный анализ двух подходов численного решения параболического уравнения при различных условиях теплового нагружения.

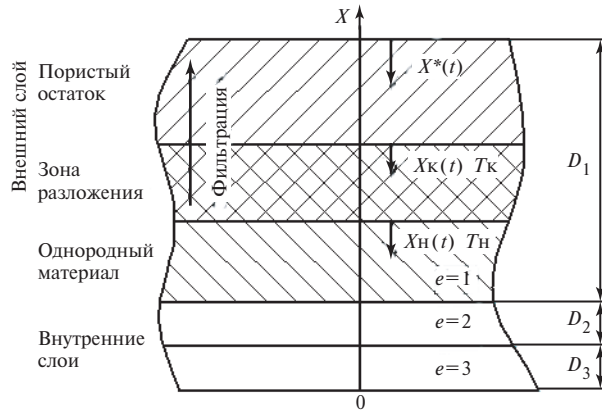


Рис. 1. Схема движения границ

Математическая модель теплопереноса в анализируемом случае:

$$c_l(T)\rho_l \frac{\partial T}{\partial \tau} = \frac{\partial}{\partial x} \left( \lambda_l(T) \frac{\partial T}{\partial x} \right) - \quad (1)$$

$$-c_g(T)\rho_g u_g \frac{\partial T}{\partial x} - \dot{\rho} \Delta H; \quad l = \overline{1, L-1}, \tau \in (0, \tau_m);$$

$$\dot{\rho} = -\rho A \exp\left(\frac{-E}{RT}\right); \quad (2)$$

$$\alpha_{wl}(T_{el} - T_{wl}) - \lambda \frac{\partial T}{\partial x_{wl}} - \varepsilon_{wl} \sigma T_{wl}^4 = G_w \Delta H_w; \quad (3)$$

$$\lambda_{l+1}(T) \frac{\partial T}{\partial x_{x=x_{ls}+0}} - \lambda_l(T) \frac{\partial T}{\partial x_{x=x_l-0}} = 0; \quad (4)$$

$$\alpha_{w2}(T_{e2} - T_{w2}) - \lambda \frac{\partial T}{\partial x_{w2}} - \varepsilon_{w2} \sigma T_{w2}^4 = 0; \quad (5)$$

$$T_l(x, 0) = T_{l,0}(x). \quad (6)$$

Первый подход реализован путем аппроксимации уравнения теплопроводности на пространственно-временной сетке с постоянной длиной пространственных шагов в каждом отдельном слое [1]. При этом узлы конечно-разностной сетки не попадают на границы зоны разложения.

До тех пор, пока наружный материал не прогрелся до температуры начала разложения  $T_i \leq T_n$ , осуществляется прогрев слоев за счет теплопроводности. Тогда конечно-разностная аппроксимация принимает вид:

$$\tilde{c}_{li} \rho_l \frac{T_i^{j+1} - T_i^j}{\Delta \tau} = \frac{1}{h_i} \left( \frac{\lambda_{l,i+1} + \lambda_{l,i}}{2} \times \right. \quad (7)$$

$$\left. \times \frac{T_{i+1}^{j+1} - T_i^{j+1}}{h_i} - \frac{\lambda_{l,i} + \lambda_{l,i-1}}{2} \frac{T_i^{j+1} - T_{i-1}^{j+1}}{h_i} \right) + 0(\Delta \tau + h_i^2), \quad i = \overline{1, N-1},$$

$$j = 0, 1, 2, \dots, \quad l = 1, 3; \quad \tilde{\lambda}_i = \lambda_i^j + \frac{\partial \lambda(T)}{\partial T} \frac{\partial T}{\partial t} + 0(\Delta \tau^2) =$$

$$= 2\lambda_i^j + \lambda_i^{j-1} + 0(\Delta \tau^2), \quad (8)$$

$$\lambda_i^j = \lambda(T_i^j), \quad \tilde{C}_i = 2C_i^j - C_i^{j-1} + 0(\Delta \tau^2), \quad (9)$$

$$C_i^j = C(\Delta T_i^j), \quad T_i^0 = T_{нач}(X_0), \quad i = \overline{0, N}; \quad (10)$$

$$\left( \frac{\alpha}{C_p} \right)_{w1}^{j+1} \left( T_{e1}^{j+1} - C_{pw1} T_{w1}^{j+1} \right) - \frac{\tilde{\lambda}_0 + \tilde{\lambda}_1}{2} \frac{(T_{w1}^{j+1} - T_1^{j+1})}{h_l} - \varepsilon_{w1} \sigma (T_{w1}^{j+1})^4 =$$

$$= \frac{C_{I0} \rho_l h_l}{2 \Delta \tau} (T_{w1}^{j+1} - T_{w1}^j) + 0(\Delta \tau + h^2), \quad i = 0, \quad j = 0, 1, 2, \dots, l = 1;$$

$$\begin{aligned}
& \alpha_{w_2}^{j+1} \left( T_{e_2}^{j+1} - T_{w_2}^{j+1} \right) + \frac{(\tilde{\lambda}_{III})_{N-1} + (\tilde{\lambda}_{III})_N}{2} \times \\
& \times \frac{T_{N-1}^{j+1} - T_{w_2}^{j+1}}{h_{III}} - \varepsilon_{w_2} \sigma \left( T_{w_2}^j \right)^4 = \\
& = \frac{(\tilde{C}_{III})_N \rho_{III} h_{III}}{2\Delta\tau} \left( T_N^{j+1} - T_N^j \right) + \\
& + 0 \left( \tau + h^2 \right), \quad i = N, \quad j = 0, 1, 2, \dots, \quad l = 3.
\end{aligned} \tag{12}$$

Условие на границах разрыва теплофизических характеристик аппроксимируется следующим образом:

$$\begin{aligned}
& \frac{(\tilde{\lambda}_{l-1})_{i-1} + (\tilde{\lambda}_{l-1})_i}{2} \frac{T_{i-1}^{j+1} - T_i^{j+1}}{h_{l-1}} - \\
& - \frac{(\tilde{\lambda}_l)_i + (\tilde{\lambda}_l)_{i+1}}{2} \frac{T_i^{j+1} - T_{i+1}^{j+1}}{h_s} = \\
& = \frac{(\tilde{C}_i \rho h)_{l-1} + (\tilde{C}_i \rho h)_l}{2\Delta\tau} \left( T_i^{j+1} - T_i^j \right) + \\
& + 0 \left( \Delta\tau, h_1^2 + h_2^2 \right), \quad X = X, \quad l = 2, 3, \dots
\end{aligned} \tag{13}$$

При появлении подвижной границы  $X_n$  в зоне разложения имеет место следующая аппроксимация уравнения теплопроводности:

$$\begin{aligned}
& \frac{\tilde{C}_p^{j+1} \rho_i + \tilde{C}_p^j \rho_i}{2} \frac{T_i^{j+1} - T_i^j}{\Delta\tau} = \frac{1}{h_i} \times \\
& \times \left( \frac{\lambda_{l,i+1} + \lambda_{l,i}}{2} \frac{T_{i+1}^{j+1} - T_i^{j+1}}{h_l} - \right. \\
& \left. - \frac{\lambda_{l,i} + \lambda_{l,i-1}}{2} \frac{T_i^{j+1} - T_{i-1}^{j+1}}{h_l} \right) + \\
& + \dot{\rho} \Delta \tilde{H} - c_g \rho_g u_g + \\
& + 0 \left( \tau + h^2 \right), \quad i = \overline{Z_k, Z_{n-1}}, \\
& j = \tau n, \tau n + 1, \tau n + 2, \dots,
\end{aligned} \tag{14}$$

где  $\Delta \tilde{H} = 2\Delta H_i^j + \Delta H_i^{j-1}$ .

При появлении границы окончания зоны разложения  $X_k$  образуется зона фильтрации пиролизных газов, аппроксимация в которой имеет вид:

$$\begin{aligned}
& \left( \frac{\alpha}{C_p} \right)_{w_1}^{j+1} \left( I_{e_1}^{j+1} - C_{pw_1} T_{w_1}^{j+1} \right) - \\
& - \frac{\tilde{\lambda}_0 + \tilde{\lambda}_1}{2} \frac{\left( T_{w_1}^{j+1} - T_1^{j+1} \right)}{h_l} - \varepsilon_{w_1} \sigma \left( T_{w_1}^{j+1} \right)^4 - \\
& - \frac{C_{10} \rho_1 h_1}{2\Delta\tau} \left( T_{w_1}^{j+1} - T_{w_1}^j \right) = \\
& = 0, \quad i = 1, \quad j = 0, 1, 2, \dots, \quad l = 1.
\end{aligned} \tag{15}$$

$$\begin{cases} \dot{m} \Delta H, T_{w_1} = T^* \left( I_{e_1} \left( t \right) \right), T_{w_1} > T^*, \\ x = X_{w_1}^* \left( t \right), t_{нач}^* < t < t_{кон}^*; \\ 0, T < T^*, x = X_{w_1}, \\ 0 < t < t_{нач}^*, t_{кон}^* < t < t_k; \end{cases}$$

$i = 0, \quad l = 1.$

При достижении внешней границей уноса материала очередного узла сетки он исключается из дальнейших расчетов.

Особенностью второго подхода является использование предварительного преобразования координат на пространственно-временной сетке:

$$\tau' = \tau, x' = (x - X_{l-1}) / (X_l - X_{l-1}).$$

Данное преобразование дает возможность работать с постоянным количеством узлов и не производить оценку положения границ зон разложения относительно узлов сетки [2],[3].

После преобразования система

$$\begin{aligned}
C_l(T_l, x, \tau) \frac{\partial T_l}{\partial \tau} &= \frac{\partial}{\partial x} \left( \lambda_l(T_l, x, \tau) \frac{\partial T}{\partial x} \right) + \\
+ Q_l(T_l, x, \tau) \frac{\partial T_l}{\partial x} &+ P_l(T_l, x, \tau) T_l + S_l(T_l, x, \tau),
\end{aligned} \tag{16}$$

$$T = T_l(x, \tau), x \in (0, 1), \tag{17}$$

$$l = \overline{1, L}, \tau \in (0, \tau_m];$$

$$T_l(x, 0) = T_{l0}(x), l = \overline{1, L}, x \in [0, 1]; \tag{18}$$

$$\begin{aligned}
a_0(T_1(0, \tau), \tau) \frac{\partial T_1(0, \tau)}{\partial x} &+ b_0(T_1(0, \tau), \tau) \times \\
\times T_1(0, \tau) &= d_0(\tau), \tau \in (0, \tau_m];
\end{aligned} \tag{19}$$

$$\begin{aligned}
a_L(T_L(1, \tau), \tau) \frac{\partial T_L(1, \tau)}{\partial x} &+ b_L(T_L(1, \tau), \tau) \times \\
\times T_L(1, \tau) &= H(T_L(1, \tau), \tau), \tau \in (0, \tau_m];
\end{aligned} \tag{20}$$

$$\begin{aligned}
a_l(T_l(1, \tau), \tau) \frac{\partial T_l(1, \tau)}{\partial x} &+ b_l(T_l(1, \tau), \tau) \times \\
\times T_l(1, \tau) &+ d_l(T_{l+1}(0, \tau), \tau) \frac{\partial T_l(0, \tau)}{\partial x} + \\
+ f_l(T_{l+1}(0, \tau), \tau) T_{l+1}(0, \tau) &= \varpi_l(\tau),
\end{aligned} \tag{21}$$

$$l = \overline{1, L-1}, \tau \in (0, \tau_m];$$

$$\begin{aligned}
g_l(T_l(1, \tau), \tau) \frac{\partial T_l(1, \tau)}{\partial x} &+ h_l(T_l(1, \tau), \tau) \times \\
\times T_l(1, \tau) &+ e_l(T_{l+1}(0, \tau), \tau) T_{l+1}(0, \tau) = \upsilon_l(\tau), \\
l = \overline{1, L-1}, \tau \in (0, \tau_m]
\end{aligned} \tag{22}$$

принимает вид:

аппроксимация граничных условий:

$$\begin{aligned}
\frac{\lambda_{N-1}^j + \lambda_N^j}{2} \frac{-T_{N-2}^j + 4T_{N-1}^j - 3T_N^j}{\Delta x} - \\
- \left( \frac{\alpha}{C_p} \right) \left( I_e^j - C_{pw_1} T_{w_1}^j \right) + \varepsilon_{w_1} \sigma \left( T_{w_1}^j \right)^4 = 0,
\end{aligned} \tag{23}$$

$$\frac{\lambda_2^j + \lambda_1^j}{2} \frac{-T_3^j + 4T_2^j - 3T_1^j}{\Delta x} - \left( \frac{\alpha}{C_p} \right) \left( I_e^j - C_{pw2} T_{w2}^j \right) + \varepsilon_{w2} \sigma (T_{w2}^j)^4 = 0. \quad (24)$$

Условия сопряжения на внутренних границах:

$$\left( \frac{\lambda_{NI-1}^j + \lambda_{NI}^j}{2} \right) \left( \frac{T_{NI-2}^j - 4T_{NI-1}^j + 3T_{NI}^j}{2\Delta x} \right) - \left( \frac{\lambda_{NI+1}^j + \lambda_{NI+2}^j}{2} \right) \left( \frac{T_{NI+3}^j - 4T_{NI+2}^j + 3T_{NI+1}^j}{2\Delta x} \right) = 0. \quad (25)$$

С момента достижения наружной стенкой температуры начала разложения появляется зона разложения:

$$C_i^j \frac{T_i^j - T_i^{j-1}}{\Delta \tau} = k_i^j \frac{1}{\Delta x} \left( \frac{\lambda_{i+1}^j + \lambda_i^j}{2} \frac{T_{i+1}^j - T_i^j}{\Delta x} - \frac{\lambda_i^j + \lambda_{i-1}^j}{2} \frac{T_i^j - T_{i-1}^j}{\Delta x} \right) + \frac{Q_i^j + |Q_i^j|}{2\lambda_i^j} \frac{T_{i+1}^j - T_i^j}{\Delta x} \frac{\lambda_{i+1}^j + \lambda_i^j}{2} + \frac{Q_i^j + |Q_i^j|}{2\lambda_i^j} \frac{T_i^j - T_{i-1}^j}{\Delta x} \frac{\lambda_i^j + \lambda_{i-1}^j}{2} - S_l = 0, \quad (26)$$

$$\text{где } k_i^j = \frac{1}{1 + \text{Re}_i^j}, \text{Re}_i^j = \frac{|\Delta Q_i^j| \Delta x}{2\lambda_i^j}, S = -\rho \Delta H.$$

Положения границ зоны разложения определяются интерполяцией, после чего расчеты повторяются до достижения заданной точности.

Сравнение данных двух подходов проводится по результатам расчета со следующими входными данными:

$$\rho = 1015 \text{ кг/м}^3;$$

$$T_n = 800 \text{ К};$$

$$T_k = 970 \text{ К};$$

$$C = 2480 \text{ Дж/(кг}\cdot\text{К)};$$

$$\lambda = 0,0004 \text{ Вт/(м}\cdot\text{К)};$$

$$\Delta H = 600 \text{ кДж/кг};$$

$$\Delta H_w = 1200 \text{ кДж/кг};$$

$$E = 2203 \text{ К}.$$

По результатам расчета построено распределение температур, которое приведено на рис. 2.

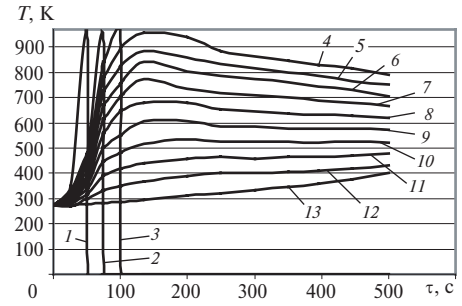


Рис. 2. Зависимость температуры от времени для различных точек: 1 — 0 м; 2 — 0.0005 м; 3 — 0.001 м; 4 — 0.0015 м; 5 — 0.002 м; 6 — 0.0025 м; 7 — 0.003 м; 8 — 0.0035 м; 9 — 0.004 м; 10 — 0.0045 м; 11 — 0.005 м; 12 — 0.0055 м; 13 — 0.006 м

## СПИСОК ОБОЗНАЧЕНИЙ

$T_n$  - температура начала разложения материала, К;

$T_k$  - температура конца разложения материала, К;

$T^*$  - температура начала уноса материала, К;

$C$  - теплоемкость, Дж/(м<sup>3</sup>·К);

$\lambda$  - теплопроводность, Вт/(м·К);

$\lambda_{eff}$  - эффективная теплопроводность в зоне разлагающегося материала, Вт/(м·К);

$\Delta H$  - тепловой эффект физико-химических превращений в разлагающемся материале, Дж/кг;

$\rho$  - плотность материала, кг/м<sup>3</sup>;

$P$  - коэффициент пористости разложившегося материала;

$\alpha$  - коэффициент теплоотдачи, Вт/(м<sup>2</sup>·К);

$u_2$  - скорость фильтрации газов, м/с;

$\Delta H_w$  - эффективная энтальпия уноса материала, Дж/К;

$I_e$  - энтальпия восстановленного потока, Дж/К;

$\dot{m}$  - массовая скорость уноса материала, кг/с;

$h$  - шаг по пространству, м;

$\Delta x$  - безразмерный шаг по пространству после преобразования координат;

$\Delta \tau$  - шаг по времени, с;

$\varepsilon_{w1}, \varepsilon_{w2}$  - коэффициенты черноты на внешней и внутренних стенках;

$R_l$  - коэффициент термического сопротивления;

$E/R$  - энергия активации, К.

Индексы:

$i$  - номер пространственной точки;

$j$  - номер временного слоя;

$W_1$  - наружная граница;

$W_2$  - внутренняя граница;

$l$  - номер слоя;

$g$  - газ.

## СПИСОК ЛИТЕРАТУРЫ

1. **Формалев В.Ф., Федотенков Г.В., Кузнецова Е.Л.** Моделирование теплового разрушения композиционных материалов // Материалы X Международного симпозиума «Динамические и технологические проблемы механики конструкций и сплошных сред».
2. **Алифанов О.М., Вабищевич П.Н., Михайлов В.В. и др.** М.: Логос, 2001. 400 с.
3. **Алифанов О.М., Артюхин Е.А., Ненарокомов А.В.** Идентификация математических моделей сложного теплообмена. М.: Изд-во МАИ, 1999. 268 с.